

Raport z projektu 1

Damian Skowroński

4 grudnia 2021

1 Wprowadzenie

W projekcie miałem zaimplementować w programie Matlab wyznaczanie zer wielomianu $w(z) = \sum_{k=0}^n a_k z^k$ w dziedzinie zespolonej używając metody Jarratta, a także zwizualizować szybkość zbieżności tej metody. W celu obliczenia potrzebnych w metodzie wartości wielomianu i jego pochodnych zastosowałem algorytm Hornera.

1.1 Metoda Jaratta

Metoda Jarratta używana jest w celu wyznaczania jednego pierwiastka równania $f(x) = 0$, gdzie f jest funkcją jednej zmiennej. Niech $x_0 \in \mathbb{C}$ będzie danym przybliżeniem początkowym. Kolejne przybliżenia x_1, x_2, x_3, \dots wyznacza się za pomocą wzoru iteracyjnego:

$$x_{k+1} = x_k - \frac{f(x_k)}{f'(x_k - \frac{1}{2} \frac{f(x_k)}{f'(x_k)})}, \quad k = 0, 1, \dots$$

1.2 Algorytm Hornera

Dla wielomianu f zapisanego jako:

$$f(x) = a_0 + x(a_1 + x(\dots + x(a_{n-2} + x(a_{n-1} + xa_n)) \dots))$$

i argumentu \hat{x} będziemy liczyć $f(\hat{x})$ i $f'(\hat{x})$. Oznaczamy $w_n = a_n$, oraz $p'_n = w_n$ i obliczamy po kolei $w_{n-1} = a_{n-1} + \hat{x}w_n$, $w_{n-2} = a_{n-2} + \hat{x}w_{n-1}$ itd., a także $p'_{n-1}(\hat{x}) = w_{n-1} + \hat{x}p'_n(\hat{x})$, $p'_{n-2}(\hat{x}) = w_{n-2} + \hat{x}p'_{n-1}(\hat{x})$ itd. Ostatecznymi wartościami będą $w_0 = f(\hat{x})$, oraz $w'_1(\hat{x}) = f'(\hat{x})$.

2 Implementacja w Matlabie

W celu implementacji zadania stworzyłem trzy funkcje:

1. Horner
2. Jarratt
3. visualise
4. generate_coeffs

Warto zaznaczyć, że zamieszczonych w tym raporcie fragmentach kodu brakuje komentarzy, które są w rzeczywistych plikach funkcji, w których kod jest lepiej wytłumaczony.

2.1 Funkcja Horner

Przyjmuje argument $\hat{x} \in \mathbb{C}$ jako `variable` oraz współczynniki wielomianu `coefficients` w wektorze, gdzie współczynnik a_i stojący przy x o potęgze i znajduje się na i -tym miejscu wektora ($i = 0, 1, \dots, n$). Implementuje wcześniej opisany algorytm Hornera. Zwraca wartość `value`, oraz pochodną `derivative` wielomianu w podanym argumencie.

```
1 function [value,derivative] = Horner(coefficients,variable)
2 n = length(coefficients);
3 w = coefficients(n);
4 p = w;
5
6 for k = (n-1):-1:2
7     w = coefficients(k) + variable.*w;
8     p = w + variable.*p;
9 end
10
11 w = coefficients(1) + variable.*w;
12 value = w;
13 derivative = p;
14
15 end
```

2.2 Funkcja Jarratt

Funkcja przyjmuje wcześniej zdefiniowaną funkcję Horner jako `fun_horner`, współczynniki wielomianu jako `coefficient`, wektor argumentów startowych `x_start`, oraz wielkość dopuszczalnego błędu `error`. Implementuje wcześniej opisaną metodę Jarratta i zwraca `x` oraz `steps`, którymi są odpowiednio informacje o tym, do którego pierwiastka udało się dojść i ile iteracji było na to potrzebne.

```
1 function [x,steps] = Jarratt(fun_horner,coefficient,x_start,error)
2 if nargin <4
3     error = 10^(-12);
4 end
5 value = inf;
6 n = length(x_start);
7 x = x_start;
8 steps = Inf(1,n);
9
10 step_counter = 0;
11 while any(abs(value)>error)
12     [value, derivative] = fun_horner(coefficient,x);
13     [value2, derivative2] = fun_horner(coefficient,x - value./(2.*derivative));
14     x = x - value./derivative2;
15     steps((abs(value)<error) & (steps > step_counter)) = step_counter;
16     step_counter = step_counter + 1;
17     if step_counter > 30
18         steps(steps > step_counter) = step_counter;
19         break
20     end
21 end
22 x;
23 steps;
24 end
```

2.3 Funkcja visualise

Funkcja wyświetla wyniki z funkcji Jarratta dla podanych współczynników `coeffs` wielomianu. Wizualizacje podane potem w przykładach są wynikiem wywołania tej funkcji.

```
1 function [] = visualise(coeffs)
2 %dimensions of meshgrid:
3 n = 1000; m = 1000; a = -10; b = 10; c = -10; d = 10;
4 [X,Y] = meshgrid(linspace(a,b,n+1),linspace(c,d,m+1));
5 test = complex(X,Y);
6 A = zeros(n+1,m+1);
7 B = A;
8 C = A;
9 error = 10^(-13);
10 %finding roots
11 for k = 1:(n+1)
12     x_start = test(k,:);
13     [A(k,:),B(k,:)] = Jarratt(@Horner,coeffs,x_start,error);
14 end
15 %things that have to do with both legends
16 A = round(A,2) + complex(0);
17 compare = round(roots(flip(coeffs)),2);
18 A(~ismember(A,compare)) = max(real(A(:))) + 1 ;
19 uniA = unique(A)
20 tmp = size(uniA)
21 numberOfColors = tmp(1)
22 for k = 1:numberOfColors
23     C(A == uniA(k)) = k - 0.5;
24 end
25 %legend lebelbs
26 leb1 = string(uniA)
27 leb1(end) = "No root found"
28 leb2 = string(5:5:30)
29 leb2(end + 1) = "No root found"
30 %visualising the outcome
31 figure
32 ax(1) = subplot(1,2,1) %which root
33 imagesc([a b], [c,d],C);
34 set(gca,'YDir','normal');
35 cmap1 = lines(numberOfColors)
36 cmap1(end,:) = zeros(3,1)
37 colormap(ax(1),cmap1)
38 colorbar("Ticks",unique(C),"TickLabels",leb1)
39 caxis(gca,[0, numberOfColors])
40 xlabel("Real axis")
41 ylabel("Imaginary axis")
42 ax(2) = subplot(1,2,2) %how many steps
43 imagesc([a b], [c,d],B);
44 set(gca,'YDir','normal');
45 cmap2 = turbo(35);
46 cmap2(31:35,:)= zeros(5,3);
47 colormap(ax(2),cmap2)
48 caxis(gca,[0 35])
49 colorbar("Ticks",[4.5:5:34.5],"TickLabels",leb2)
50 xlabel("Real axis")
51 ylabel("Imaginary axis")
52 end
```

2.4 Funkcja generate_coeffs

Funkcja generuje i zwraca współczynniki `coeffs` w dziedzinie zespolonej wielomianu danego stopnia `degree`. Funkcja przydała się do szukania ciekawie wyglądających wizualizacji.

```
1 function [coeffs] = generate_coeffs(deg)
2 minim = -10; maxim = 10 %range
3 real_part = (abs(minim) + abs(maxim))*rand( 1, deg , 'double') - abs(minim);
4 imaginary_part = (abs(minim) + abs(maxim))*rand( 1, deg , 'double') - abs(minim);
5 coeffs = complex(round(real_part,2),round(imaginary_part,2));
6 end
```

3 Przykłady

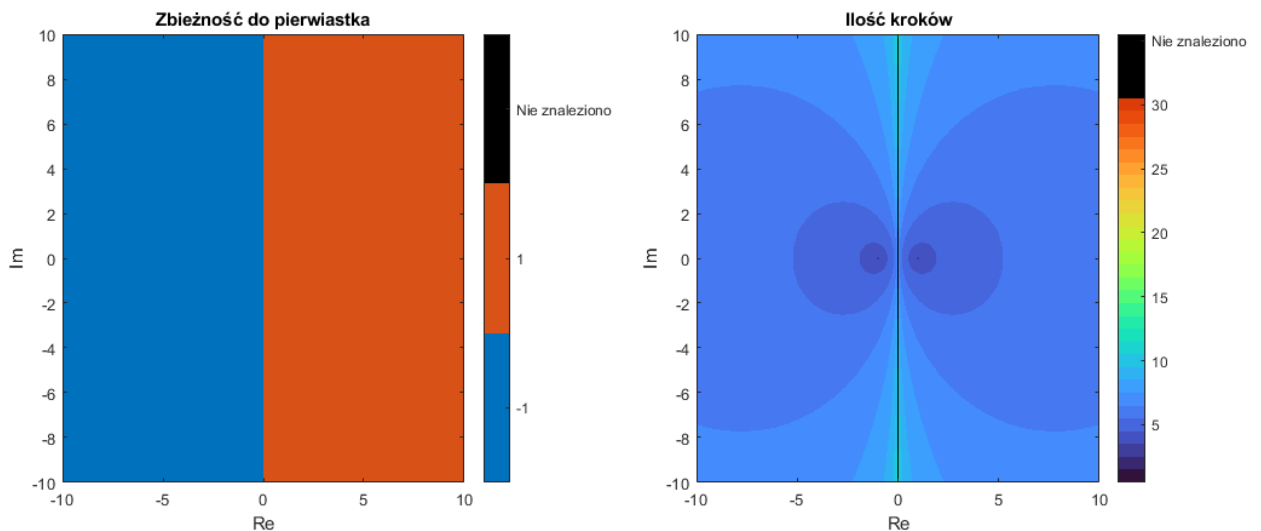
W tej sekcji przedstawię kilka przykładów działania programu. Zacznę od od mniej skomplikowanych wielomianów z wytłumaczeniem co widać na wizualizacjach, a zakończę na ciekawiej wyglądających wizualizacjach wielomianów, o wygenerowanych przez funkcję `generate_coeffs` współczynnikach.

3.1 Własne przykłady

Przykłady, których współczynniki wybierałem ręcznie, w celu pokazania czegoś konkretnego.

3.1.1 Przykład 1

Na początek biorę prosty wielomian $z^2 - 1$. Spodziewamy się oczywiście dwóch pierwiastków: $z_1 = -1$, oraz $z_2 = 1$



Otrzymaliśmy takie pierwiastki jakich się spodziewaliśmy. Jak widać program miał problem w znalezieniu pierwiastka dla tych $x_0 \in \mathbb{C}$, które miały $Re(x_0) = 0$. Można policzyć dlaczego tak się dzieje.

Dla $x_0 = 0$ w metodzie Jarratta nie istnieje x_1 , bo występuje dzielenie przez zero:

$$x_1 = 0 + \frac{-1}{2(0 - \frac{-1}{2 * 2 * 0})}$$

W pozostałych x_0 , dla których nie znaleziono pierwiastka występuje jakiegoś rodzaju nieskończona pętla (przynajmniej tak podejrzewam, bo nawet jak zwiększałem maksymalną liczbę kroków do miliona to

dla żadnej z tych wartości nie znalazło pierwiastka). Na przykład dla $x_0 = i$, będzie:

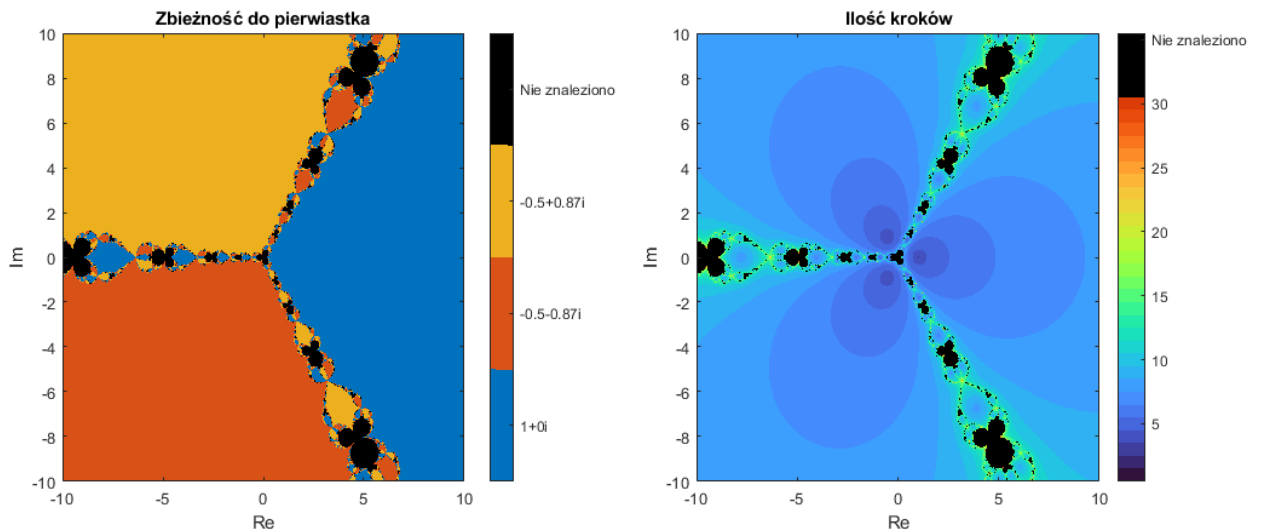
$$x_1 = i - \frac{-2}{2(i - \frac{-2}{2 * 2i})} = i + \frac{1}{i + \frac{1}{2i}} = i + \frac{2i}{2i^2 + 1} = i + \frac{2i}{-1} = -i$$

$$x_2 = -i - \frac{-2}{2(-i - \frac{-2}{-2 * 2i})} = -i + \frac{1}{-i - \frac{1}{2i}} = -i + \frac{2i}{-2i^2 - 1} = -i + 2i = i \quad ,$$

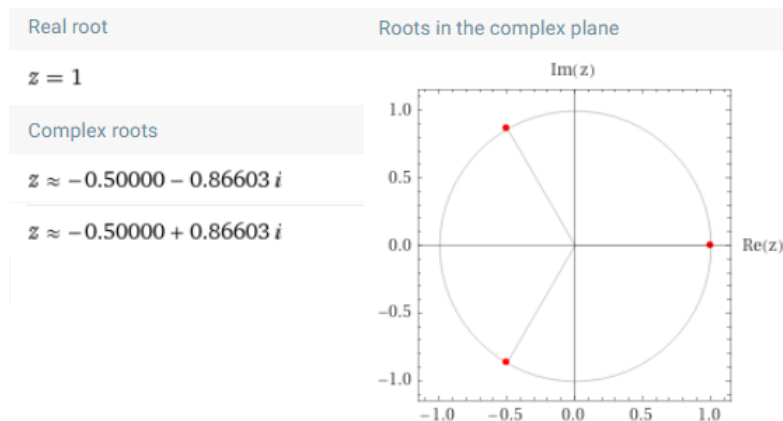
więc jest tu powrót do x_0 .

3.1.2 Przykład 2

W przykładzie drugim wielomianem jest $z^3 - 1$. Wielomian ten jest podobny do poprzedniego, z przykładu 1, jednak zwraca już zupełnie inne, ciekawsze wyniki.



Można porównać pierwiastki, do których doszedł program z wynikami w WolframAlpha.



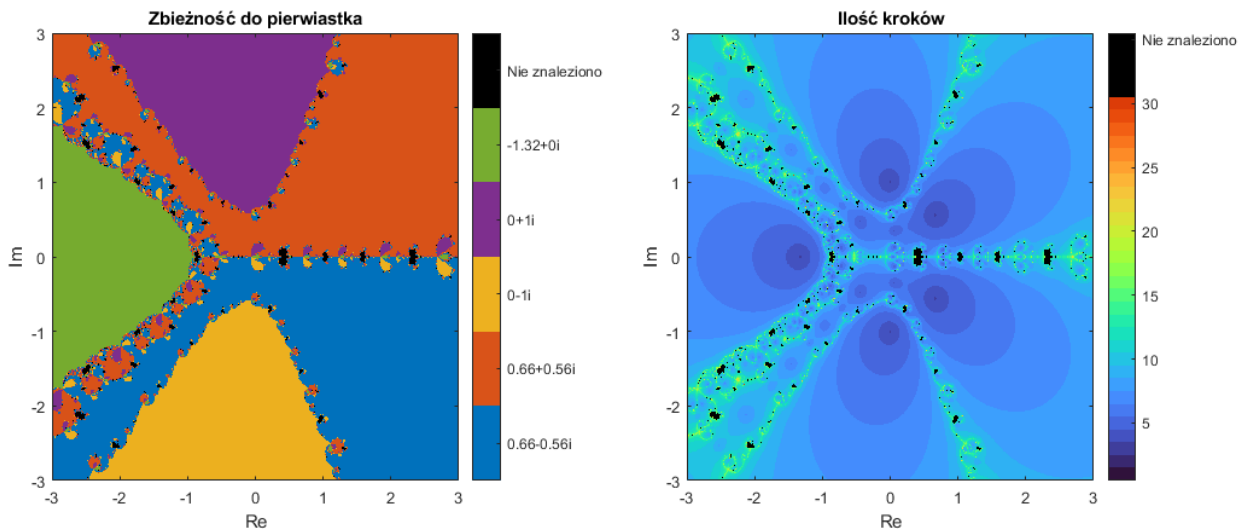
Widać, że pierwiastki są w przybliżeniu takie same, i do tego dzięki grafice *Roots in the complex plane*, możemy lepiej zrozumieć wizualizację *Zbieżność do pierwiastka*.

Próbowałem ustalić, dlaczego istnieją punkty w których programowi nie udało się znaleźć pierwiastka. Okazuje się, że te punkty po kilku krokach są bliskie punktu $x = 0$, i w kolejnych krokach zbiegają do niego, ale o bardzo małą wartość, to znaczy im więcej robią kroków tym o mniej się zliżają. Dla samego $x_0 = 0$ zachodzi podobna sytuacja jak w przykładzie 1, czyli mamy dzielenie przez 0, gdy szukamy x_1 :

$$x_1 = 0 + \frac{-1}{3(0 - \frac{-1}{2 * 3 * 0})}$$

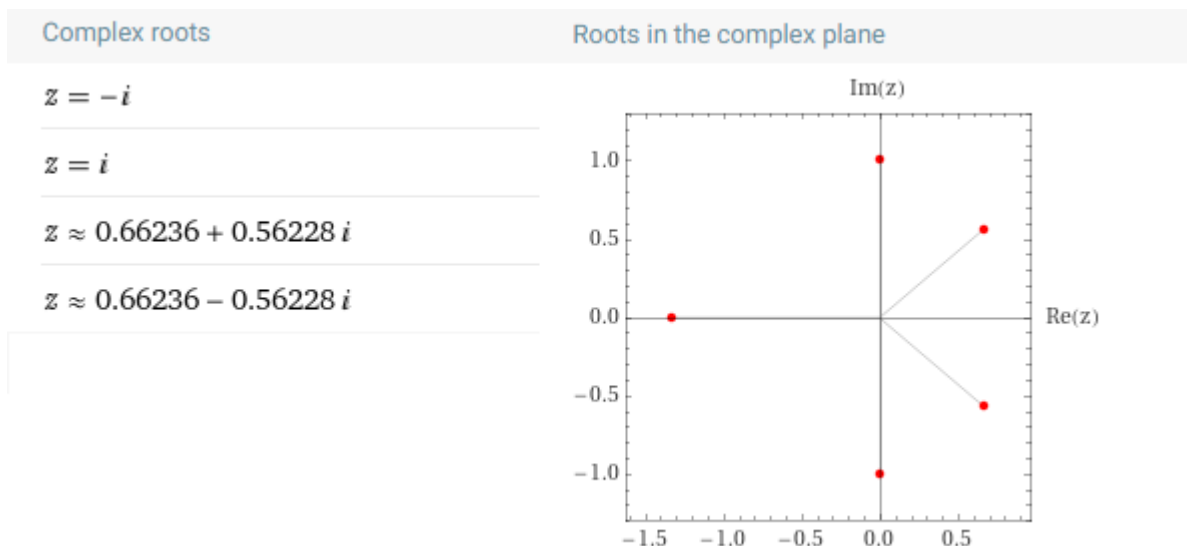
3.1.3 Przykład 3

Następnym wielomianem jest $z^5 + z^2 - z + 1$



Na wizualizacji *Zbieżność do pierwiastka* widać, że dla tego wielomianu granica zielonego pola jest ciekawsza niż granice w poprzednich wielomianach. Jeśli spojrzeć na granicę między polem zielonym, a polem niebieskim widać, że w tych znajdują się tam też wszystkie pozostałe kolory w powtarzających się figurach.

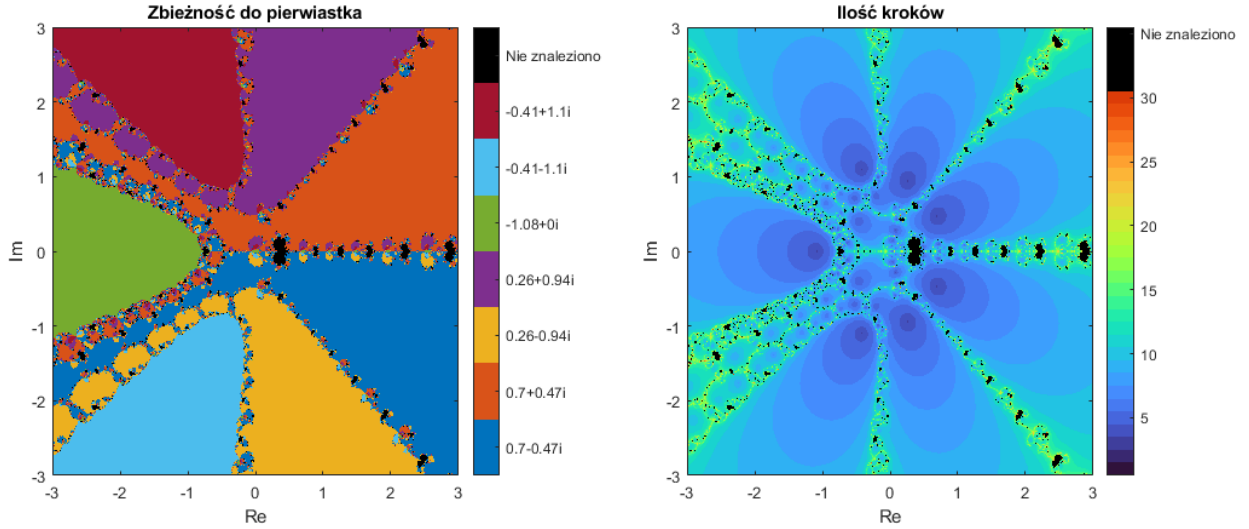
Po raz ostatni można porównać wyniki z wynikami w WolframAlpha, aby się upewnić, że program działa poprawnie.



Jak widać wyniki w przybliżeniu znowu się zgadzają.

3.1.4 Przykład 4

Teraz biorę wielomian $x^7 + x^5 + x^3 - x + 1$. W tym przypadku wielomian różni się od poprzedniego tym, że jest dodatkowy wyraz x^7 . Wydaje się, że to niewielka zmiana, jednak wizualizacja zmienia się znacząco.



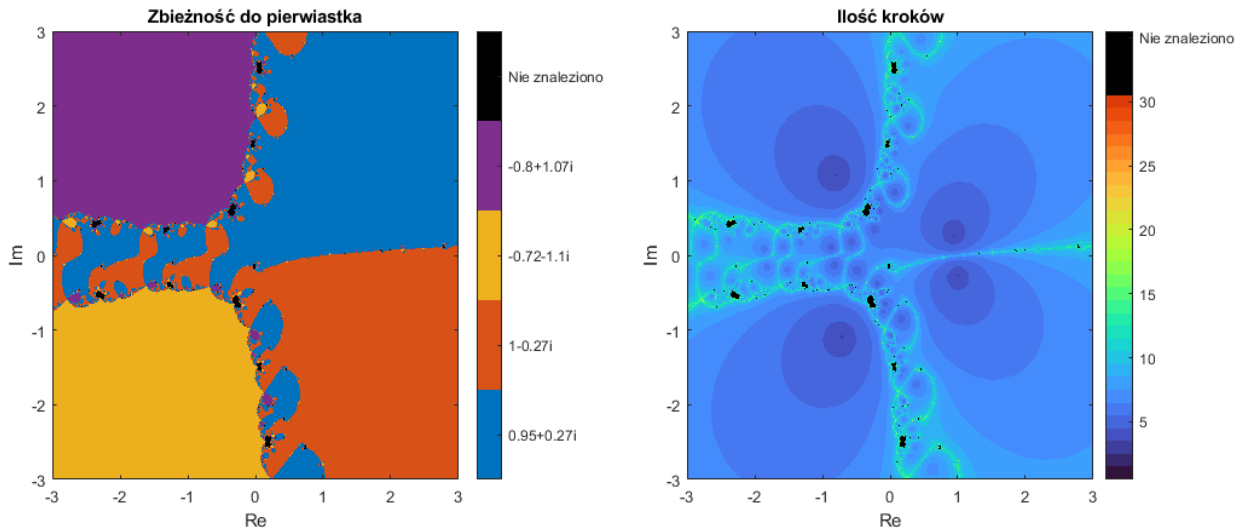
Wygląda na to, że im większy stopień wielomianu, a tym samym większa ilość pierwiastków, tym bardziej zawiła wizualizacja. Widać też, że potrzeba było zrobić więcej kroków, aby dojść do pierwiastku, niż w poprzednich wielomianach.

3.2 Przykłady z generatora

W tej sekcji pokażę kilka wizualizacji, które otrzymałem generując współczynniki funkcją `generate_coeffs` i wytłumaczę, dlaczego uważam je za ciekawe.

3.2.1 Przykład 5

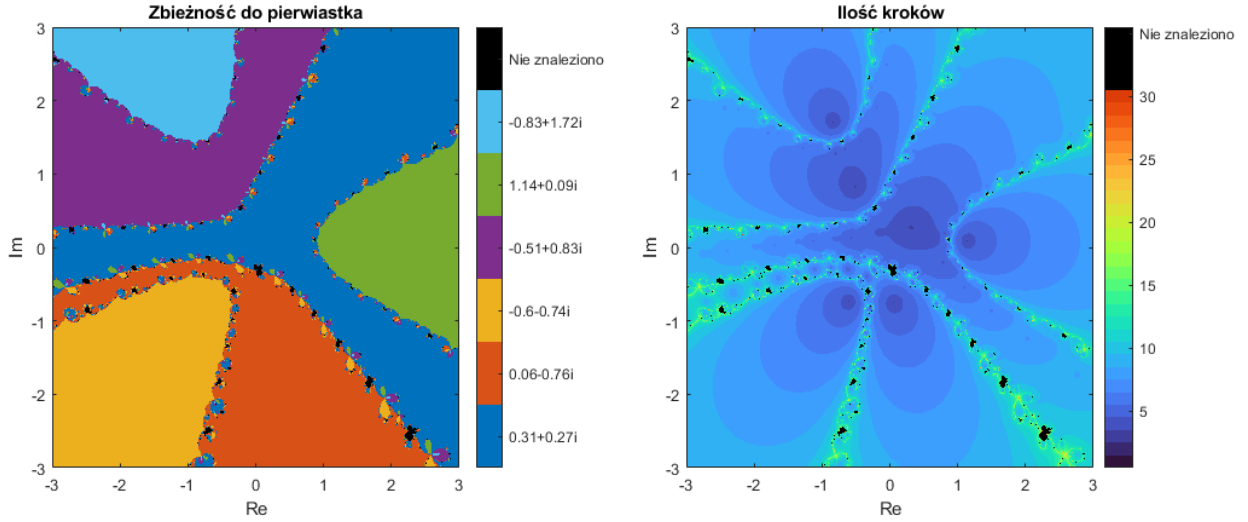
Wielomian $(5.31 + 2.93i)z^4 + (-2.37 - 1.09i)z^3 + (-1.23 - 0.2i)z^2 + (-9.31 - 6.26i)z + (9 + 5.9i)$



Moim zdaniem ciekawe tu jest to jak nietypowo ustawiają się pomarańczowe kształty po lewej stronie wizualizacji *Zbieżność do pierwiastka*.

3.2.2 Przykład 6

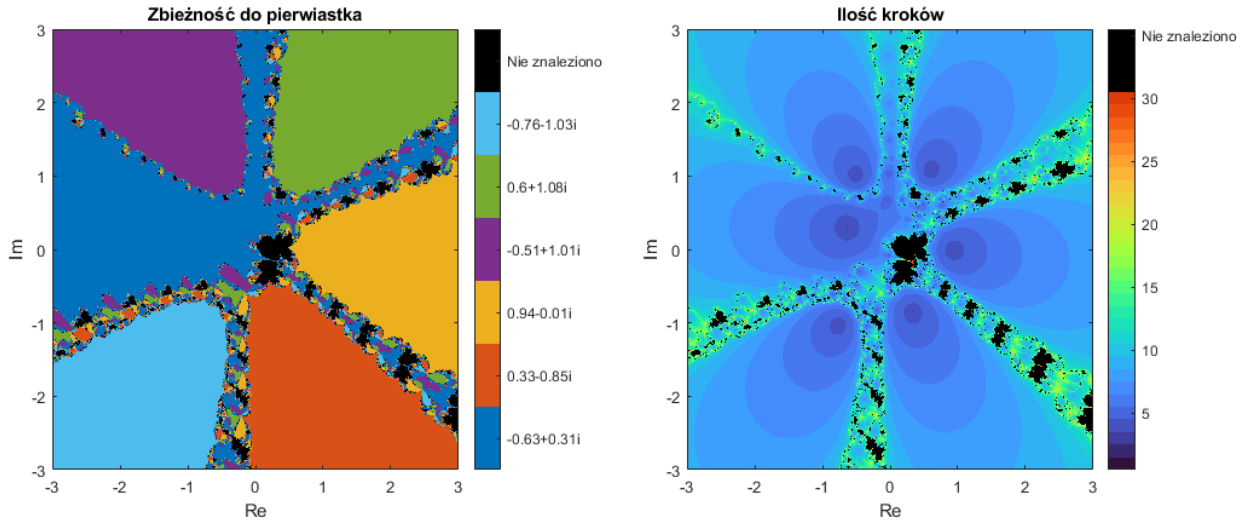
Wielomian $(-7.01 - 3i)z^6 + (0.94 - 5.13i)z^5 + (-7.23 + 8.59i)z^4 + (7.82 - 4.91i)z^3 + (9.19 + 6.29i)z^2 + (0.12 - 4.85i)z + (3.98 + 6.81i)$



Tutaj zaskakujące jest to w jaki sposób pierwiastki $-0.83 + 1.72i$ i $-0.6 - 0.74i$, są odgródzone przez odpowiednio pierwiastki $-0.51 + 0.83i$, oraz $0.06 - 0.76i$, a także to, że granice między kolorami są stosunkowo cienkie.

3.2.3 Przykład 7

Wielomian $(-6.69 - 8.32i)z^6 + (2.04 - 5.42i)z^5 + (-4.74 + 8.27i)z^4 + (3.08 - 6.95i)z^2 + (3.78 + 6.52i)z^2 + (4.96 + 0.77i)z + (-0.99 + 9.92i)$



W tym przykładzie interesujący jest fakt, że jest dużo obszarów, na czarno, czyli tych, w których nie udało się znaleźć rozwiązania.

4 Podsumowanie

Mając na uwadze podane przykłady widać, że metoda Jarratta ma swoje ograniczenia. W każdym pokazanym przeze mnie wielomianie, a także na wszystkich innych, które testowałem (oprócz takich trywialnych jak x^2, x^3 , itd.) istnieją punkty początkowe, dla których nie udaje się znaleźć żadnego rozwiązania podanego wielomianu. Same wizualizacje wynikające z szukania tych rozwiązań, szczególnie te pokazujące *Zbieżność do pierwiastka* wyglądają zadziwiająco. Wydaje się, że gdyby można było je obserwować w bardzo dużej rozdzielczości, to znaczy dla dużo większej ilości punktów, to przybliżając się coraz bardziej w miejscu granic można by obserwować ciągle nowsze, mniejsze kształty.